

بررسی قابلیت روش اجزاء محدود در جداسازی بی‌هنجری‌های گرانی ساختمان‌های نفتی

فرامرز دولتی ارده جانی^۱، علی مرادزاده^{۲*}، محمد یعقوبی‌پور^۳ و سید‌هاشم طباطبائی^۴

^۱ دانشیار، دانشکده مهندسی معدن و ژئوفیزیک، دانشگاه صنعتی شهرورد، ایران

^۲ دانشیار، دانشکده مهندسی معدن و ژئوفیزیک، دانشگاه صنعتی شهرورد، ایران

^۳ کارشناس ارشد مهندسی اکتشاف معدن، دانشکده مهندسی معدن و ژئوفیزیک، دانشگاه صنعتی شهرورد، ایران

^۴ کارشناس ارشد ژئوفیزیک، بخش اکتشافات ژئوفیزیکی، شرکت ملی نفت ایران

(دریافت: ۸۶/۹/۵ ، پذیرش نهایی: ۸۹/۷/۲۸)

چکیده

استفاده از روش‌های مناسب تفکیک بی‌هنجری‌ها در تعیین وضعیت دقیق ساختمانی تله‌های نفتی یکی از مسائل مهم در تفسیر داده‌های گرانی است. اگرچه روش‌های متداول تفکیک بی‌هنجری‌ها از قبیل مشتقات اول و دوم، گسترش بی‌هنجری‌ها به سمت بالا و پایین، متوسط‌گیری وزنی و روند سطحی طی سالیان متمادی بهمنظور تفکیک بی‌هنجری‌های گرانی در اکتشاف منابع نفتی و کانسارها به کار گرفته شده است با این حال ضرورت استفاده از روش‌های جدید در تفسیر داده‌های گرانی هنوز احساس می‌شود. در این مقاله از توانمندی‌های روش عددی اجزاء محدود به منظور حذف اثرات ناحیه‌ای داده‌های گرانی منطقه دهنو استان فارس استفاده می‌شود. برای برآورده گرانی ناحیه‌ای، از المان‌های چهار گره‌ای، هشت گره‌ای با تابع درون‌یاب درجه دو و المان دوازده گره‌ای با تابع درون‌یاب درجه سه استفاده شد. محاسبات موردنیاز در فضای بدون بُعد $67 - \gamma$ در فاصله ۱- و ۱ صورت گرفت و سپس مجدداً به فضای واقعی ص-ص برگردانده شد. با استفاده از روش‌های متداول، قابلیت و توانمندی، روش اجزاء محدود در جداسازی بی‌هنجری‌های ناحیه‌ای و محلی مورد ارزیابی قرار گرفت. نقشه باقی‌مانده حاصل از روش اجزاء محدود دو بی‌هنجری تقادیسی و سه بی‌هنجری ناویدسی را مشخص کرد. بی‌هنجری‌های تقادیسی منطبق بر ساختمان دهنو هستند. نتایج حاصل از روش اجزاء محدود در تطبیق نسبتاً خوبی با نتایج سایر روش‌های تفکیک بی‌هنجری‌ها است که این موضوع خود قابلیت استفاده از روش اجزاء محدود را برای حذف اثرات ناحیه‌ای از مقادیر گرانی برداشت شده به اثبات می‌رساند.

واژه‌های کلیدی: داده‌های گرانی، تفکیک بی‌هنجری‌ها، منطقه دهنو، تله نفتی، اجزاء محدود

A study of the capability of the finite element method in gravity anomalies separation of oil traps

Doulati Ardejani, F.¹, Moradzadeh, A.², Yaghobipour, M.³ and Tabatabaei, S. H.⁴

¹ Associate Professor, Faculty of Mining and Geophysics, Shahrood University of Technology, Iran

² Associate Professor, Faculty of Mining and Geophysics, Shahrood University of Technology, Iran

³ M.Sc. in Mining Engineering, Faculty of Mining and Geophysics, Shahrood University of Technology, Shahrood, Iran

⁴ M.Sc. in Geophysics, NIOC 8th Buildings Yaghma Alley Jumhoori Ave. Tehran P.O.Box 1863

(Received: 26 Nov 2007 , Accepted: 20 Oct 2010)

Abstract

This paper attempts to investigate the capability of the numerical finite element method for the removal of the regional effects from the observed gravity data from the Dehnow anticline.

*نگارنده رابط: تلفن: ۰۲۷۳ - ۳۳۹۵۵۰۹ - ۰۲۷۳ - ۳۳۹۵۵۰۹. دورنگار:

E-mail: amoradzadeh@shahroodut.ac.ir

From a geological point of view, the Dehnow area is a part of the Fars sedimentary basin south-east Iran. The Khamy formation and Bangestan group are the oldest geological structures in the area that have outcrops. Younger structures consist of Aghajary, Mokhtari, Mishan, Gachsaran and Asmary. The dominant structural trend in the area is northwest-southeast. The Dehnow anticline is located between the Hendurabi and Razak faults. These faults are almost perpendicular to the Dehnow anticline. The presence of these two series of perpendicular faults has been well proved by the detailed geological investigations carried out in the area. The first type of the faults with a northwest-southeast direction has formed oil seeps due to the extension of these types of faults to the dipper layers. The second types of faults in the salt layers of the Hormoz formation at the base of the Dehnow anticline may be related to the salt intrusion. The evidence of the salt outcrops can be recognized at two points from the Dehnow anticline.

The Dehnow anticline is surrounded by Ashkenan, Ahal, Boochir, Hamiran, Hashniz and Kemeschek towns. The Tabnack gas structure is located in the west of this district. The anticline can be accessed through Asalouie-Bandarlenggeh and Lamard-Ashkenan-Gavbandy roads. The area has a very harsh topography with numerous mountains and valleys. The region is very warm and wet in the summer. It has a mild winter.

A careful geological study of the area, a detail investigation of structural features such as faults associated with the Dehnow anticline and application of the proper geophysical techniques and other exploration methods is necessary to investigate its subsurface extension and to further identify salt plug intrusion into this anticline. Furthermore, the information obtained by the various exploration techniques can help to design a cost management program related to any further investigation in the area.

The gravity method has been used in the past in many applications related to petroleum exploration studies as a way of investigating oil traps and exploring the impact of faults and intrusions in particular salt into such geological structures. This method together with other geophysical methods including magnetic and Magnetotelluric (MT) have been used in the study area to achieve the above objectives.

Anomaly separation using appropriate techniques is noted to be an important stage in the interpretation of gravity data in order to accurately detect the subsurface oil traps. The literature review has shown that despite the conventional separation methods such as first and second vertical derivatives, upward and downward continuations, weighting average and trend surface analysis that have been used during the past few decades in the separation of gravity anomalies in the exploration of oils and ore deposits, the application of the finite element method related to anomaly separation has not been widely reported so far. Using new techniques in the regional-residual anomalies separation of the observed gravity data is a crucial demand in gravity interpretation.

In this paper, the finite element approximation method was used to remove regional effects from the measured gravity data of the Dehnow anticline. For regional gravity approximation, four nodes element, eight nodes isoparametric quadratic element and twelve nodes cubic element were used. The necessary computations were performed on a non-dimensional $\xi-\eta$ space, ranging between -1 and 1 and subsequently translated to the real x-y space.

The capability of the finite element method in regional-residual separation of the gravity data was evaluated using the conventional separation techniques including the trend surface method. The residual map obtained using the finite element method

indicates the presence of two anticlines and three syncline structures with a northwest – southeast strike. The anticlines identify the Dehno structure. The results of the finite element method are in close agreement with those results obtained from the conventional methods; confirming that the finite element approximation technique is a capable method for computation of the regional gravity anomaly free from residual effects.

Key words: Gravity data, anomaly separation, Dehno area, oil trap, finite element

۱ مقدمه

بی‌هنجری‌ها دارای ضعف‌هایی به شرح زیر هستند. در اکثر این روش‌ها فرض شده تا محدوده مورد بررسی به صورت شبکه‌های مربعی یا مستطیلی باشند. به علاوه به هنگام اعمال این فیلترها مجموعه‌ای از داده‌ها از چهارگوشه نقشه از بین می‌روند. به علاوه، استفاده از این فیلترها در بعضی موارد به داده‌های برداشت شده نوافه اضافه می‌کند. در روش متوسط‌گیری وزنی انتخاب یک شعاع مناسب برای محاسبه اثر ناحیه‌ای بسیار دشوار است. در اکثر موارد بی‌هنجری‌های مجاور مجزا همپوشانی دارند و یا یک بی‌هنجری ممکن است به صورت بی‌هنجری‌های مجزا از هم تفسیر شود. در روش روند سطحی نیز رسیدن به یک سطح روند ایدئال مشکل است. مهم‌تر از همه اینکه در اکثر روش‌های فیلترسازی از همه داده‌های اندازه‌گیری شده برای محاسبه مقادیر گرانی ناحیه‌ای استفاده می‌شود و علاوه بر آن به کمک برنامه‌های رایانه‌ای از چندجمله‌ای با مرتبه بسیار بالا برای برازش بر داده استفاده می‌شود و این امر سبب می‌شود تا اثرات ناحیه‌ای محاسبه شده به لحاظ نظری به احتمال زیاد نتواند کاملاً عاری از اثرات محلی یا باقی‌مانده باشد (مالیک و شارما، ۱۹۹۹). از این‌رو نتایج حاصل در این موارد نمی‌تواند زیاد دقیق باشد و بدین سبب معمولاً برای تفکیک بی‌هنجری‌ها، همه این فیلترها مورد استفاده قرار می‌گیرند و نتایج با هم مقایسه می‌شوند (مراذزاده و همکاران، ۱۳۸۵). به سبب ضعف‌های موجود، استفاده از روش‌های جدید مثل روش اجزاء محدود برای تفکیک بی‌هنجری‌ها احساس می‌شود.

هدف اصلی تحقیقات ژئوفیزیکی در اکتشافات نفتی، پی‌بردن به وجود تله‌های نفتی است. بعضی از نفتگیرهای ساختمانی مانند تاقدیس‌ها در سطح رخنمون دارند. ولی در غالب موارد این ساختمان‌ها کاملاً رسوبات پوشیده شده‌اند و فقط با تحقیقات ژئوفیزیکی می‌توان به وجود این نفتگیرها پی‌برد. در این میان روش گرانی‌سنجدی نقش بسیار مهمی در تشخیص این تله‌ها ایفا می‌کند. اگر داده‌های گرانی اندازه‌گیری شده به درستی تفسیر شوند می‌توانند اطلاعات سودمندی در مورد وضعیت ساختمانی تله‌های نفتی فراهم کنند.

یکی از مسائل مهم در تفسیر داده‌های گرانی حذف اثرات ناحیه‌ای (منطقه‌ای) از داده‌های گرانی برداشت شده است؛ که هدف عملیات اکتشافی نیستند. با حذف این اثرات، بی‌هنجری‌های باقی‌مانده (محلي) که مربوط به ساختمان‌های زیرسطحی کم‌عمق‌تر هستند، با وضوح بیشتر نمایان می‌شوند. به همین دلیل داده‌های برداشت شده پس از تصحیحات لازم باید با انتخاب فیلترهای مناسب به مولفه‌های ناحیه‌ای و باقی‌مانده تفکیک شوند (مراذزاده و همکاران، ۱۳۸۴). انتخاب فیلتر مناسب که پاسخگوی نیازهای وضعیت زمین‌شناسی هر منطقه باشد از اهمیت خاصی برخوردار است. برای تفکیک داده‌های گرانی از فیلترهای گوناگونی استفاده می‌شود. متدائل‌ترین روش‌های تفکیک بی‌هنجری‌ها شامل روش‌های مشتقات اول و دوم، گسترش بی‌هنجری‌ها به سمت بالا و پایین، متوسط‌گیری وزنی و روش روند سطحی است (تلغورد و همکاران، ۱۹۹۱). روش‌های اشاره شده به منظور تفکیک

جزء یا إلمان با شکل دلخواه تقسیم و گرههای فرضی ایجاد می‌شود. برای هر إلمان یک تابع تقریبی \bar{a} با ضرایب مجهول از مقادیر پارامترهای گرهی (منظور از پارامترهای گرهی مقدار تابع یا مشتقات آن در گره مفروض است) در نظر گرفته می‌شود که به آنها توابع درون یاب (Interpolate) إلمان گویند (ردی، ۱۹۹۳).

این روش محاسبه اثر ناحیه‌ای داده‌های گرانی، براساس مفهوم و خصوصیات توابع شکل هر إلمان که در روش اجزاء محدود به کار می‌رود، استوار است. برای حل معادلات دیفرانسیل با روش عددی اجزاء محدود، متغیرهای پیوسته در هر نقطه داخل إلمان - خطی، مربعی (درجه ۲) یا مکعبی (درجه ۳) با جمع وزنی (weighted sum) مقادیر گرههای مجزا، g_i ، به صورت زیر بیان می‌شود:

$$g(x, y) = \sum_{i=1}^n N_i(x, y) g_i \quad (1)$$

که در آن:

$N_i(x, y)$ = توابع شکل که همانند توابع وزنی عمل می‌کنند

n = تعداد گرههای در إلمان

(x, y) = بی‌هنگاری ناحیه‌ای گرانی داخل إلمان در نقطه‌ای با مختصات x و y است.

از آنجاکه هر إلمان می‌تواند دارای شکل، اندازه و خواص مختص به خود باشد، تعجبی ندارد که این روش توانایی‌های بسیار خوبی در خصوص بررسی مسائل مربوط به خاصیت ناهمگونی مواد، هندسه نامنظم و شرایط پیچیده داشته باشد. اگر چه در اکثر موارد به منظور حل مسائل فقط از یک نوع إلمان به خصوص استفاده می‌شود ولی از ترکیب إلمان‌های متفاوت نیز می‌توان استفاده کرد.

انتخاب توابع درون یاب مهم‌ترین کار این روش است.

یک تابع درون یاب مناسب، به همگرایی خیلی خوب در سطح انتخابی منجر می‌شود. بر عکس انتخاب غلط آن

روش اجزاء محدود روشنی عددی برای حل تقریبی بسیاری از مسائل مهندسی است. استفاده از این روش در کاوش‌های ژئوفیزیکی، خصوصاً روش‌های گرانی‌سنجدی و مغناطیس‌سنجدی غالباً در مدل‌سازی داده‌های اندازه‌گیری شده خلاصه می‌شود (کافتن و همکاران، ۲۰۰۳). با توجه به قابلیت و انعطاف‌پذیری خوب روش اجزاء محدود در حل مسائل مهندسی دو محقق هندی (مالیک، ۱۹۹۱؛ مالیک و شارما، ۱۹۹۷؛ ۱۹۹۹) اولین بار از آن جهت محاسبه اثر ناحیه‌ای داده‌های گرانی در مقیاس محدود استفاده کردند و روش ساختند که نتایج به دست آمده امیدوارکننده است.

با توجه به اینکه جداسازی بی‌هنگاریها اهمیت زیادی در مدل‌سازی و شناسایی آنها دارد، لذا در این تحقیق بر آن شدیم که نظریه مطرح شده محققان هندی را مورد بررسی بیشتری قرار دهیم، روش را اولین بار روی داده‌های گرانی منطقه‌ای در ایران پیاده کنیم و کارایی این روش را در کاربردهای عملی مورد بررسی بیشتر قرار دهیم.

در این کار تحقیقی برای آشکارسازی بهتر تله‌های نفتی منطقه دهنو فارس، نقشه بی‌هنگاری بوگه منطقه با استفاده از روش عددی اجزاء محدود مورد تفکیک قرار گرفت و پس از محاسبه اثر ناحیه‌ای، نقشه بی‌هنگاری باقی مانده تهیه شد.

در ادامه نتایج به دست آمده با این روش با نتایج حاصل از فیلترهای روند سطحی، متوسط‌گیری وزن دار و Modelvison Pro (شرکت فناوری انکام، ۲۰۰۳) مشتق قائم که به کمک نرم‌افزار نرم‌افزار Modelvison Pro می‌شوند تا قابلیت‌های روش اجزاء محدود در این موارد بیشتر بررسی شود.

۲ نظریه روش

برای استفاده از روش مورد نظر به منظور تفکیک بی‌هنگاری‌ها، نقشه بی‌هنگاری بوگه به تعداد محدودی

ب- باید توجه کرد که انتخاب محل ایمان حاکم بر منطقه خیلی مهم است. اندازه ابعاد ایمان نیز به یکنواختی و پراکنده نبودن داده های برداشت شده بستگی دارد. این مقدار می تواند از $1/5$ کیلومتر که حداقل ابعاد شبکه برداشت داده ها و یا بیشتر تا اندازه ابعاد کل سطح منطقه باشد.

ج- با توجه به انتخاب تعداد گره ها یعنی نوع ایمان (درجه دو یا سه) و با استفاده از توابع شکل مناسب، اثر ناحیه ای به کمک فرمولی که برای ایمان تعریف می شود، قابل محاسبه است.

د- اثرات حاصل با داده های گرانی برداشت شده مقایسه و از اختلاف آنها، اثر باقیمانده محاسبه می شود.

۲-۲ ایمان در مختصات مبنای و مختصات واقعی
برای آنکه فرایند درون یابی آسان تر صورت گیرد، مقادیر اندازه گیری شده داده های ژئوفیزیکی را که عملاً در فضای واقعی (x_i و y_i) است، به فضای مبنای (x_i و y_i) انتقال می دهیم.

اصول انتقال مختصات گره های ایمان در فضاهای مبنای و واقعی در شکل ۱ نشان داده شده است. مختصات هشت گره عملاً در فضای واقعی $i=1,2,\dots,8$ است. امکان انتقال فضای واقعی $y-x$ به فضای مبنای $7-1$ به آسانی امکان پذیر است. فضای مبنای $7-1$ ، با مختصات بدون بعد 7 و 1 تعریف می شود که دارای اندازه ای حدود [۱-۱] است.

چنین تغییر مختصاتی سبب می شود تا (مالیک و شارما، ۱۹۹۹):

- روش محاسبه ساده تر شود.

- وزن ها را بدون هیچ گونه ابهامی بر حسب توابع شکل تعریف کند.

- فضای نقشه را با هر اندازه پوشش دهد.

منجر به واگرایی یا همگرایی ضعیف در منطقه می شود و گاهی اوقات نیز همگرایی به جواب های غلط می انجامد.

از دیدگاه عملی نیز باید توابعی را به کار گرفت که در صورت امکان به لحاظ جبری ساده باشند. یک تابع درون یاب به دو صورت داده می شود:

- یک چندجمله ای ساده با ضرایب نامعینی که متعاقباً به پارامتر های گرهی مرتبط می شوند.

- مستقیماً بر حسب توابع شکل و پارامتر های گرهی، که مقدار تابع و یا مشتقه آن را در گره موردنظر برابر یک و در سایر گره ها مساوی صفر قرار می دهد.

بدین ترتیب هر متغیر وابسته در ایمان، با توابع شکل مناسب تقریب زده می شود که با معلوم بودن تابع تقریبی درون یاب \bar{u} بر حسب پارامتر های گرهی ایمان، معادلات فرمول بندی و استخراج می شوند. با معلوم بودن تابع تقریبی درون یاب \bar{u} بر حسب پارامتر های گرهی ایمان می توان به شبیه سازی درونی ایمان یا به اصطلاح درون یابی پرداخت. داده های حاصل همان داده های مربوط به اثرات ناحیه ای است.

۱-۲ ایمان های ایزو پارامتریک

با توجه به اینکه داده های گرانی اندازه گیری شده در سطح زمین پیوستگی ندارند، نمی توان بین آنها معادلات دیفرانسیلی تعریف کرد. بنابراین باید محدوده ای (سطوحی) که داده های گرانی از آن برداشت شده را به ایمان هایی تقسیم کرد و سپس با استفاده از روش های درون یابی، داده های مربوط به درون هر ایمان را به دست آورد و درنهایت با استفاده از داده های حاصل شده از کل ایمان ها، اثر ناحیه ای را شبیه سازی کرد. به این منظور برای حل یک ایمان از یک منطقه، به شکل زیر عمل می شود:

الف- یک ایمان چهار ضلعی با چهار، هشت، دوازده و یا بیست گره انتخاب می شود؛ طوری که روی هر ضلع ایمان به ترتیب ۶، ۴، ۳ و ۲ گره قرار گیرد.

$\zeta, \eta =$ مختصات گره‌های المان

با توجه به رابطه ۳ برای همه گره‌های یک المان می‌توان نوشت:

$$\begin{aligned} g_1 &= C_1 + C_2 \xi_1 + C_3 \xi_1^2 + C_4 \eta_1 + C_5 \xi_1 \eta_1 + C_6 \eta_1^2 + C_7 \xi_1^2 \eta_1 + C_8 \xi_1 \eta_1^2 \\ g_2 &= C_1 + C_2 \xi_2 + C_3 \xi_2^2 + C_4 \eta_2 + C_5 \xi_2 \eta_2 + C_6 \eta_2^2 + C_7 \xi_2^2 \eta_2 + C_8 \xi_2 \eta_2^2 \\ g_3 &= C_1 + C_2 \xi_3 + C_3 \xi_3^2 + C_4 \eta_3 + C_5 \xi_3 \eta_3 + C_6 \eta_3^2 + C_7 \xi_3^2 \eta_3 + C_8 \xi_3 \eta_3^2 \\ g_4 &= C_1 + C_2 \xi_4 + C_3 \xi_4^2 + C_4 \eta_4 + C_5 \xi_4 \eta_4 + C_6 \eta_4^2 + C_7 \xi_4^2 \eta_4 + C_8 \xi_4 \eta_4^2 \\ g_5 &= C_1 + C_2 \xi_5 + C_3 \xi_5^2 + C_4 \eta_5 + C_5 \xi_5 \eta_5 + C_6 \eta_5^2 + C_7 \xi_5^2 \eta_5 + C_8 \xi_5 \eta_5^2 \\ g_6 &= C_1 + C_2 \xi_6 + C_3 \xi_6^2 + C_4 \eta_6 + C_5 \xi_6 \eta_6 + C_6 \eta_6^2 + C_7 \xi_6^2 \eta_6 + C_8 \xi_6 \eta_6^2 \\ g_7 &= C_1 + C_2 \xi_7 + C_3 \xi_7^2 + C_4 \eta_7 + C_5 \xi_7 \eta_7 + C_6 \eta_7^2 + C_7 \xi_7^2 \eta_7 + C_8 \xi_7 \eta_7^2 \\ g_8 &= C_1 + C_2 \xi_8 + C_3 \xi_8^2 + C_4 \eta_8 + C_5 \xi_8 \eta_8 + C_6 \eta_8^2 + C_7 \xi_8^2 \eta_8 + C_8 \xi_8 \eta_8^2 \end{aligned} \quad (4)$$

که در آن $i=1,2,\dots,8$ گرانی ناحیه‌ای هر گره است.

مجموعه معادلات ۴ را می‌توان به شکل یک ماتریس نوشت:

$$\begin{bmatrix} g_1 \\ g_2 \\ g_3 \\ g_4 \\ g_5 \\ g_6 \\ g_7 \\ g_8 \end{bmatrix} = \begin{bmatrix} 1 & \xi_1 & \xi_1^2 & \eta_1 & \xi_1 \eta_1 & \eta_1^2 & \xi_1^2 \eta_1 & \xi_1 \eta_1^2 \\ 1 & \xi_2 & \xi_2^2 & \eta_2 & \xi_2 \eta_2 & \eta_2^2 & \xi_2^2 \eta_2 & \xi_2 \eta_2^2 \\ 1 & \xi_3 & \xi_3^2 & \eta_3 & \xi_3 \eta_3 & \eta_3^2 & \xi_3^2 \eta_3 & \xi_3 \eta_3^2 \\ 1 & \xi_4 & \xi_4^2 & \eta_4 & \xi_4 \eta_4 & \eta_4^2 & \xi_4^2 \eta_4 & \xi_4 \eta_4^2 \\ 1 & \xi_5 & \xi_5^2 & \eta_5 & \xi_5 \eta_5 & \eta_5^2 & \xi_5^2 \eta_5 & \xi_5 \eta_5^2 \\ 1 & \xi_6 & \xi_6^2 & \eta_6 & \xi_6 \eta_6 & \eta_6^2 & \xi_6^2 \eta_6 & \xi_6 \eta_6^2 \\ 1 & \xi_7 & \xi_7^2 & \eta_7 & \xi_7 \eta_7 & \eta_7^2 & \xi_7^2 \eta_7 & \xi_7 \eta_7^2 \\ 1 & \xi_8 & \xi_8^2 & \eta_8 & \xi_8 \eta_8 & \eta_8^2 & \xi_8^2 \eta_8 & \xi_8 \eta_8^2 \end{bmatrix} \begin{bmatrix} c_1 \\ c_2 \\ c_3 \\ c_4 \\ c_5 \\ c_6 \\ c_7 \\ c_8 \end{bmatrix}$$

یا:

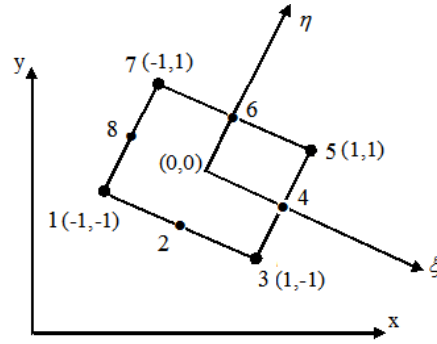
$$[g] = [A][c] \quad (5)$$

ضرایب مجهول چندجمله‌ای ($C_{i=1,2,\dots,8}$) از رابطه زیر به دست می‌آید:

$$[c] = [A]^{-1}[g] \quad (6)$$

و یا اینکه با در نظر گرفتن توابع شکل ($N_i(\xi, \eta)$ ، رابطه زیر را می‌توان برای محاسبه مقدار گرانی ناحیه‌ای هر نقطه داخل المان نوشت:

$$g(\xi, \eta) = \sum_{i=1}^8 N_i(\xi, \eta) g_i \quad (7)$$



شکل ۱. المان هشت گرهی: مختصات مبنای (ξ, η) ، مختصات واقعی (x, y) (پیدر و فریند، ۱۹۷۲).

۳-۲ توابع شکل

توابع شکل در گره‌های ۱ تا ۸ در فضای مبنای (شکل ۱) و بر حسب مختصات بدون بعد ξ و η به صورت زیر هستند (چیونگ و یشو، ۱۹۷۹):

$$\begin{aligned} N_1(\xi, \eta) &= (1 + \xi \xi_1)(1 + \eta \eta_1)(\xi \xi_1 + \eta \eta_1 - 1)/4 & i=1, 3, 5, 7 \\ N_2(\xi, \eta) &= (1 - \xi^2)(1 + \eta \eta_2)/2 & i=2, 6 \\ N_3(\xi, \eta) &= (1 + \xi \xi_3)(1 - \eta^2)/2 & i=4, 8 \end{aligned} \quad (2)$$

معادلات فوق شرایط زیر را تأمین می‌کنند:

- تابع شکل $N_i(\xi, \eta)$ در i امین گره برابر یک و در سایر گره‌ها برابر صفر است.

$$\sum N_i(\xi, \eta) = 1$$

۴-۲ اثر ناحیه‌ای گرانی-متغیر صحرایی

اثر ناحیه‌ای گرانی در یک نقطه دلخواه (ξ, η) در فضای مبنای، با در نظر گرفتن یک المان هشت گره‌ای، یک چندجمله‌ای از مرتبه دوم به صورت زیر خواهد بود (مالیک و شارما، ۱۹۹۹):

$$g = C_1 + C_2 \xi + C_3 \xi^2 + C_4 \eta + C_5 \xi \eta + C_6 \eta^2 + C_7 \xi^2 \eta + C_8 \xi \eta^2 \quad (3)$$

که در آن:

$$g = \text{گرانی ناحیه‌ای} = C_{i=1,2,\dots,8} = \text{ثابت‌های چندجمله‌ای}$$

- موقعیت و مقادیر گره‌های إلمان انتخابی تعیین می‌شود.
 - در اینجا فرض بر این است که نقاط انتخابی که إلمان از آنها می‌گذرد در حکم نقاط مبنا هستند.
 - با استفاده از یک برنامه تهیه شده در محیط نرم‌افزار Matlab، داده‌های برداشت شده‌ای که در داخل این إلمان واقع‌اند، تعیین می‌شود.
 - کمک داده‌های گره‌های إلمان انتخابی و به روش عددی اجزاء محدود و برنامه رایانه‌ای تهیه شده در محیط نرم‌افزار Matlab، مقدار اثر ناحیه‌ای گرانی در همان نقاط محاسبه می‌شود.
 - مراحل قبل روی سایر إلمان ‌ها نیز اجرا می‌شوند تا اثر ناحیه‌ای کل حاصل شود.
 - اثرات گرانی ناحیه‌ای حاصل از روش اجزاء محدود از مقدار گرانی برداشت شده کسر می‌شود تا مقدار گرانی باقی‌مانده حاصل شود.
- از آنجاکه در روش اجزاء محدود فقط از مقادیر گرانی اندازه‌گیری شده و یا درون‌یابی شده^۴،^۸ و یا نقطه روی إلمان چهارضلعی برای محاسبه اثرات ناحیه‌ای استفاده می‌شود بنابراین معادلات درجه دوم و یا حداقل درجه سوم قادر به برآورد خوب اثرات ناحیه‌ای است و خطای ناشی از به کار گیری چندجمله‌ای با مرتبه بسیار بالا که در سایر روش‌های تفکیک بی‌هنچاری‌ها مورد استفاده قرار می‌گیرد حذف می‌شود و همچنین ساختارهای کم عمق (اثرات محلی) تاثیر کم و یا ناچیزی در محاسبات اثر ناحیه‌ای دارند. این مسئله به مثابه مزیتی برای روش اجراء محدود نسبت به سایر روش‌ها مطرح است و علاوه بر آن محاسبه اثرات گرانی در این روش مستقل از هرگونه آگاهی در مورد شکل و عمق ساختارهای مورد بررسی است (مالیک و شارما، ۱۹۹۷).

۳ بررسی موردنی

همان‌طور که پیش‌تر اشاره شد در این مقاله، به‌منظور

۵-۲ انتقال مختصات

گرانی ناحیه‌ای محاسبه شده در مختصات (ξ, η) باید برای استفاده در مراحل بعدی به مختصات واقعی (x, y) برگردانده شود. این انتقال مختصات را می‌توان به صورت زیر عملی کرد:

$$\begin{aligned} x(\xi, \eta) &= \sum_{i=1}^8 M_i(\xi, \eta) x_i \\ y(\xi, \eta) &= \sum_{i=1}^8 M_i(\xi, \eta) y_i \end{aligned} \quad (8)$$

که در آن برای إلمان ‌های ایزوپارامتری، مقدار M_i همان مقدار N_i را دارد و x_i و y_i نیز بیان‌کننده مختصات گره‌ها در فضای واقعی‌اند. إلمان ‌هایی که در آن متغیر صحراوی و مختصات از توابع شکل یکسان استفاده می‌کنند، به إلمان ‌های ایزوپارامتریک معروف‌اند. استفاده از چنین إلمان ‌هایی باعث افزایش دقت در محاسبات می‌شود (مالیک و شارما، ۱۹۹۹).

ضرایب چندجمله‌ای حاصل برای إلمان با هشت گره در نظر گرفته شده است که برای به دست آوردن آنها از یک معادله درجه دو استفاده می‌شود. درصورتی که از إلمان بیست گرهی استفاده شود، از معادله درجه سه برای درون‌یابی داخل إلمان استفاده می‌شود (مالیک و شارما، ۱۹۹۹).

دقت در این روش بستگی به دو عامل مهم نوع إلمان (چهارگرهی، هشت‌گرهی، ...) و محل إلمان در فضای موردنی بررسی دارد. مقدار گرانی در گره‌ها برای تقریب اثر ناحیه‌ای بسیار مهم است.

۶-۲ نحوه به کار گیری روش اجزاء محدود

برای محاسبه اثر ناحیه‌ای گرانی به روش اجزاء محدود، مراحل زیر دنبال می‌شود:

- ابتدا منطقه مورد بررسی إلمان ‌بندی می‌شود.
- یک إلمان انتخاب می‌شود.

سال ۱۳۸۲ در ۵۷۹ ایستگاه برداشت شد طباطبائی، ۱۳۸۳). شکل ۲ نقشه بی‌هنگاری بوگه منطقه را با فواصل خطوط تراز ۲ میلی‌گال نشان می‌دهد. این نقشه وضعیت ساختمانی منطقه را به صورت یک بی‌هنگاری مثبت (ساختمان تاقدیسی) با روند شمال غربی – جنوب شرقی مشخص می‌کند که اختلاف گرادیان این بی‌هنگاری مثبت حدود $+25$ میلی‌گال است. شب در دو دامنه ساختمان موردیحث، زیاد است.

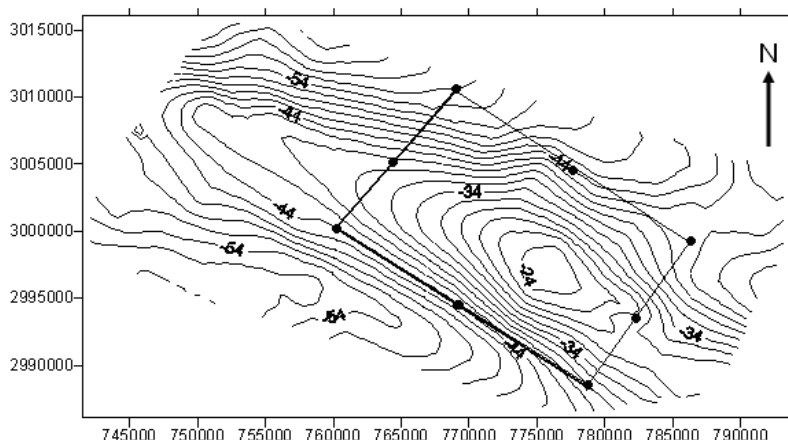
۲-۳ استفاده از روش اجزاء محدود برای محاسبه اثر ناحیه‌ای منطقه دهن
برای استفاده از روش پیش‌گفته، یک إلمان روی نقشه بی‌هنگاری بوگه منطقه انتخاب شد (شکل ۲). فرایند درون‌یابی روی إلمان ذکر شده با تعداد گره‌های متفاوت (چهار گره‌ای، هشت گره‌ای، دوازده گره‌ای) امتحان شد. انتخاب إلمان پیش‌گفته به گونه‌ای صورت گرفت که تغییرات گرانی در گره‌ها آرام باشد. شکل ۳ فرایند تفکیک بی‌هنگاری‌ها به روش اجزاء محدود هشت گره‌ای را نشان می‌دهد. پس از محاسبه گرانی ناحیه‌ای (شکل ۳-ب) برای إلمان موردیحث با روش ذکر شده، نقشه گرانی باقی‌مانده (شکل ۳-ج) آن محاسبه شد. نقشه باقی‌مانده حاصل بخشی از تاقدیس دهنو با روند شمال غربی-جنوب شرقی را نشان می‌دهد.

بررسی قابلیت و توانمندی روش عددی اجزاء محدود در آشکارسازی تله‌های هیدروکربوری تاقدیسی شکل در ناحیه دهنو فارس، که در حال حاضر از اولویت اکتشافی خاصی برخوردار است، نقشه بی‌هنگاری بوگه منطقه مورد تفکیک قرار گرفت و پس از محاسبه اثر ناحیه‌ای، نقشه بی‌هنگاری باقی‌مانده تهیه شد که در زیر مورد بررسی قرار می‌گیرد.

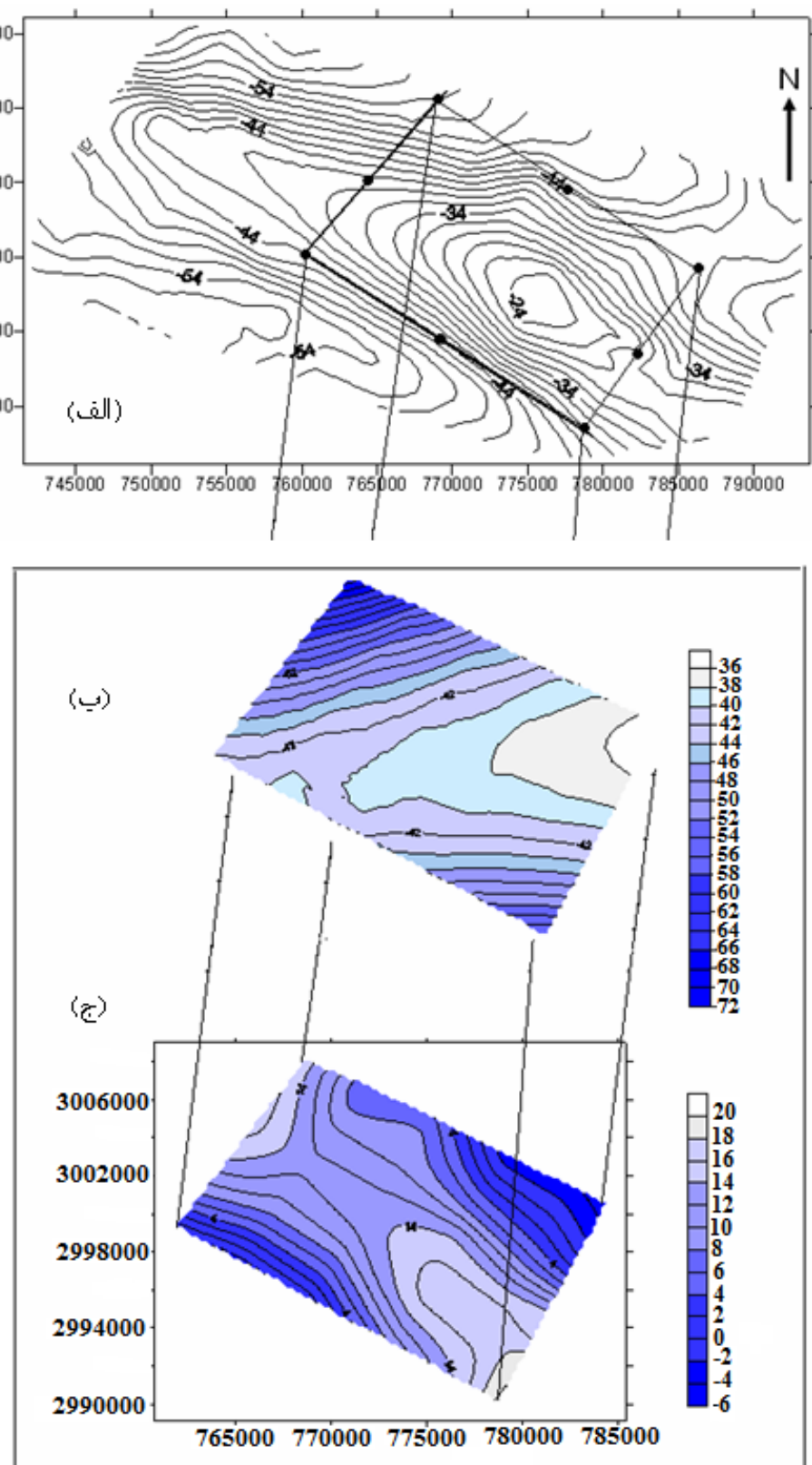
۱-۳ زمین‌شناسی و موقعیت جغرافیایی منطقه

منطقه مورد بررسی از نظر زمین‌شناسی جزء حوزه رسوی فارس است. از نظر جغرافیایی، به شهر اشکنان و اهل از شمال، به بوجیر، حمیران و هشتیز از جنوب و از غرب به ساختمان گازی تابناک محدود می‌شود. دسترسی به منطقه از راه بندرعباس و بندر لنگه به اشکنان و هم از راه بندر عسلویه و گاویندی به اشکنان امکان‌پذیر است. منطقه توپوگرافی شدیدی دارد. قدیمی‌ترین سازندهای موجود در منطقه، سازند خامی و گروه بنگستان هستند. سازندهای جوان‌تر شامل آغازاری، مختاری، میشان، گچساران و آسماری‌اند. روند ساختاری عمومی منطقه شمال‌غرب-جنوب شرق است.

برای تعیین وضعیت توپوگرافی زیرسطحی ساختمان دهنو و ارزیابی اهمیت آنها از نظر پتانسیل هیدروکربوری، عملیات گرانی سنگی ازوی شرکت ملی نفت ایران در



شکل ۲. نقشه بی‌هنگاری بوگه منطقه دهنو همراه با إلمان هشت‌گرهای.

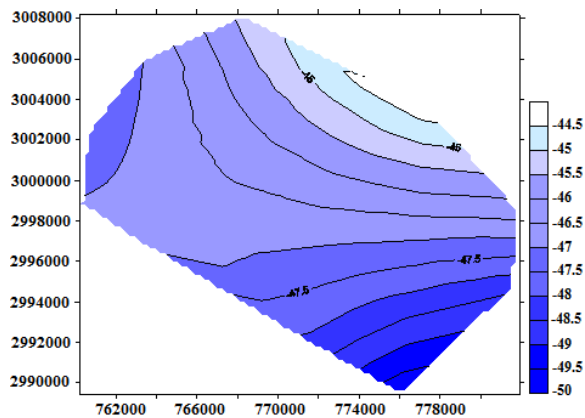
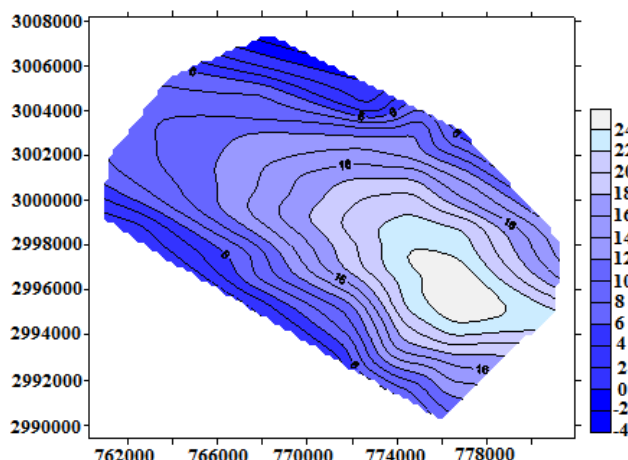


شکل ۳. تفکیک بی‌هنجاری‌ها به روش اجزاء محدود هشت گره‌ای: (الف)- نقشه بی‌هنجاری بوگه، (ب)- نقشه گرانی ناحیه‌ای، (ج)- نقشه گرانی باقی‌مانده.

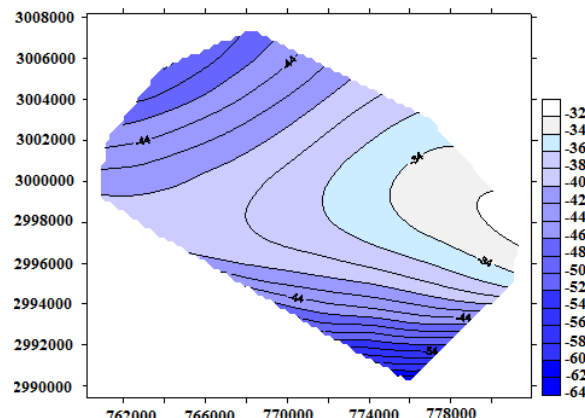
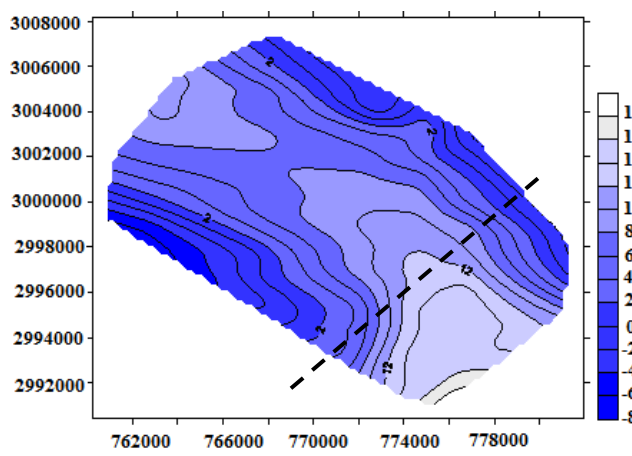
و روش گریفین نیز طی تحقیقات جداگانه‌ای استفاده شد (دولتی اردежانی و همکاران، ۱۳۸۳؛ دولتی اردежانی و همکاران، ۱۳۸۵؛ مرادزاده و همکاران، ۱۳۸۵). مقایسه نتایج حاصل از روش اجزاء محدود با اطلاعات زمین‌شناسی منطقه، داده‌های موجود و همچنین مقایسه نتایج حاصل از سایر روش‌های تفکیک بی‌هنجری‌ها که پیش‌تر ذکر شد، گویای دقت خوب روش اجزاء محدود به خصوص وقتی تعداد گره‌ها به دوازده افزایش می‌یابد، است.

در شکل‌های ۴ و ۵ نقشه‌های گرانی ناحیه‌ای و گرانی باقی‌مانده حاصل از روش اجزاء محدود چهارگرهای و دوازده‌گرهای برای إلمان مشخص شده در شکل ۲ آمده است. شکل‌ها نشان می‌دهند که هرچه تعداد گره‌ها برای إلمان انتخابی بیشتر باشد، نتایج حاصل از درون‌یابی همگن‌تر خواهد بود.

به منظور بررسی دقت روش اجزاء محدود در تفکیک بی‌هنجری‌های گرانی، از دیگر روش‌های تفکیک بی‌هنجری‌ها از جمله روند سطحی با درجات متفاوت، مشتقات قائم، گسترش بی‌هنجری‌ها به سمت بالا و پایین



شکل ۴. نقشه گرانی ناحیه‌ای (سمت راست) و گرانی باقی‌مانده (سمت چپ) حاصل از روش اجزاء محدود چهارگرهای.

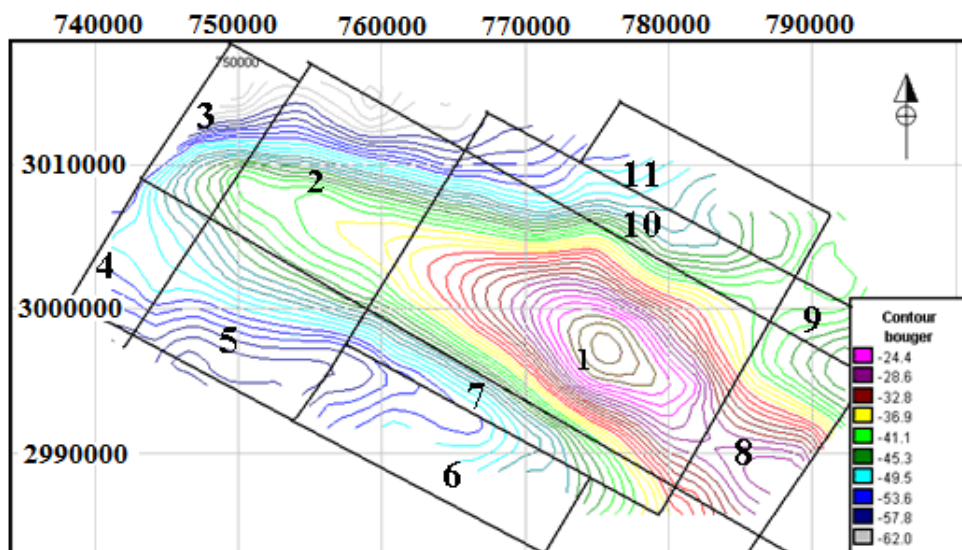


شکل ۵. نقشه گرانی ناحیه‌ای (سمت راست) و گرانی باقی‌مانده (سمت چپ) حاصل از روش اجزاء محدود دوازده‌گرهای.

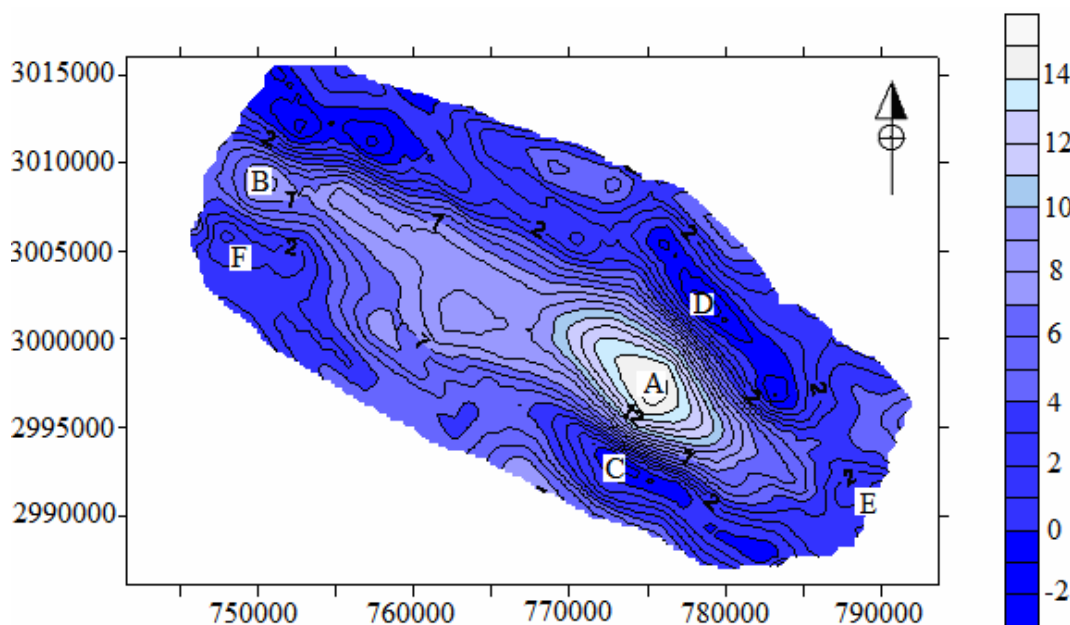
تقسیم‌بندی می‌شود (شکل ۶).

سپس با توجه به ویژگی درون‌یابی در روش اجزاء محدود، اثرات ناحیه‌ای در درون هر إلمان برآورده شود. پس از محاسبه اثرات ناحیه‌ای کلیه گره‌های إلمان‌ها، نقشه بیهنجاری باقی‌مانده منطقه تهیه شده که در شکل ۷ نشان داده شده است.

موارد گفته شده فقط درخصوص یک إلمان مورد بررسی قرار گرفت. برای تهیه نقشه باقی‌مانده از کل منطقه لازم است تا إلمان‌های دیگری نیز انتخاب شود تا وضعیت ساختاری منطقه به درستی نمایان شود. به همین منظور سطح منطقه به نحو مناسب إلمان‌بندی می‌شود. با توجه به ساختار زمین‌شناسی منطقه مورد بررسی و داده‌های گرانی برداشت شده، منطقه به ۱۱ إلمان با ابعاد متفاوت



شکل ۶. إلمان‌بندی منطقه دهنو به‌منظور محاسبه گرانی باقی‌مانده با روش اجزاء محدود.



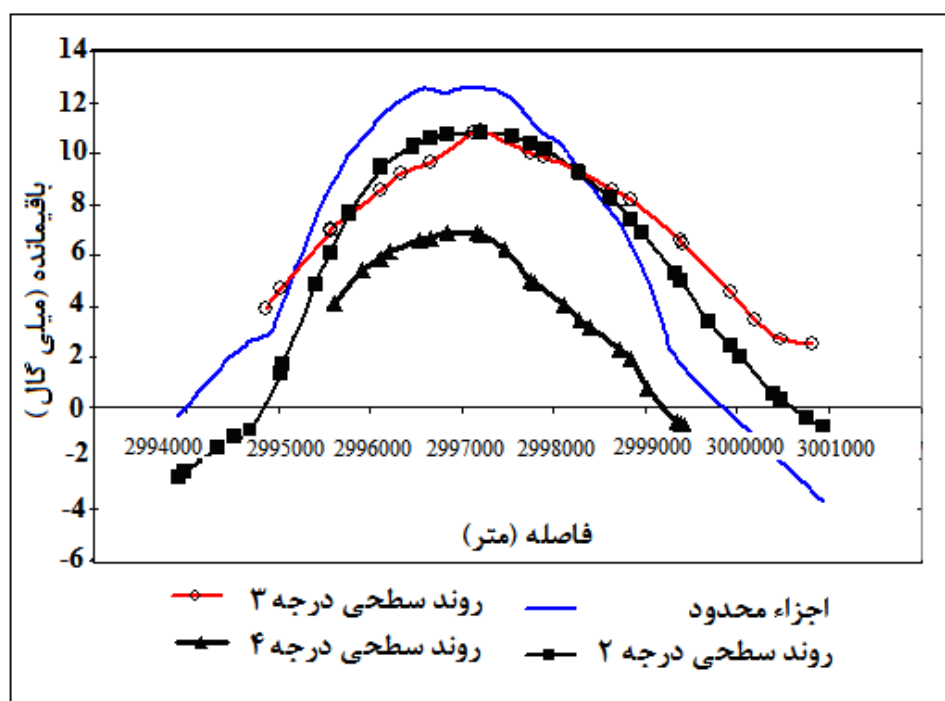
شکل ۷. نقشه گرانی باقی‌مانده منطقه دهنو با استفاده از روش اجزاء محدود.

دامنه‌های پُرشیب مشخص می‌شود.

در این قسمت با توجه به محل نیمرخ خط‌چین شده در شکل ۵، مقایسه‌ای از نتایج حاصل از روش اجزاء محدود و روند سطحی با درجه‌های متفاوت در تفکیک بی‌هنجری‌ها صورت می‌گیرد. همان‌طور که در شکل ۸ مشاهده می‌شود، روش اجزاء محدود مطابق انتظار با یک اختلاف گرددیان بیشتر تاقدیس دهنو را مشخص می‌سازد. این بدان دلیل است که روش بیش گفته در صورتی که از نظر انتخاب محل إلمان‌ها و تعداد گره‌های إلمان‌ها به درستی اعمال شود، اثرات ناحیه‌ای گرانی را به گونه‌ای برآورد می‌کند که کمتر متأثر از اثرات ساختارهای محلی زمین‌شناسی باشد. در نتیجه تفاضل بین گرانی ناحیه‌ای و داده‌های گرانی اندازه‌گیری شده بزرگ‌تر خواهد بود. این نتیجه در راستای همان انتظاری است که برای این روش قبلًا مطرح شده است و این مطلب امتیاز روش اجزای محدود را نسبت به دیگر روش‌های استفاده شده در جداسازی بی‌هنجری‌ها نشان می‌دهد.

همان‌گونه که در شکل ۷ ملاحظه می‌شود، وضعیت ساختاری منطقه دهنو با تعدادی بی‌هنجری مشخص شده است. به طوری که روی این نقشه بی‌هنجری‌های A و B مثبت یا ساختمان تاقدیسی است و بی‌هنجری‌های C و D ساختمان‌های ناودیسی هستند. ساختمان‌ها با روند شمال غرب-جنوب شرق مشخص می‌شوند که روند ساختمانی پیش گفته مطابق نقشه زمین‌شناسی منطقه است. تعدادی بی‌هنجری نیمه‌بسته نیز در گوشه‌های نقشه ملاحظه می‌شود که در بین آنها به نظر می‌رسد که بی‌هنجری‌های نیمه‌بسته E در شرق منطقه و F در غرب منطقه در ادامه تشکیلات زمین‌شناسی باشند که در بخش‌های یادشده دارای رخنمون هستند.

گرانی باقی‌مانده در محدوده بی‌هنجری A (شکل ۷) دارای شدت زیادی است که بیانگر رخنمون این ساختمان تاقدیسی در سطح زمین است. این واقعیت منطبق بر شواهد زمین‌شناسی منطقه است. همچنین این بی‌هنجری در سطح وسیع‌تری نسبت به بقیه بی‌هنجری‌ها قرار دارد و با



شکل ۸ مقایسه گرانی باقی‌مانده روش‌های روند سطحی با درجات متفاوت و اجزاء محدود در نیمرخ انتخابی (نشان داده شده در شکل ۵) روی إلمان ۱.

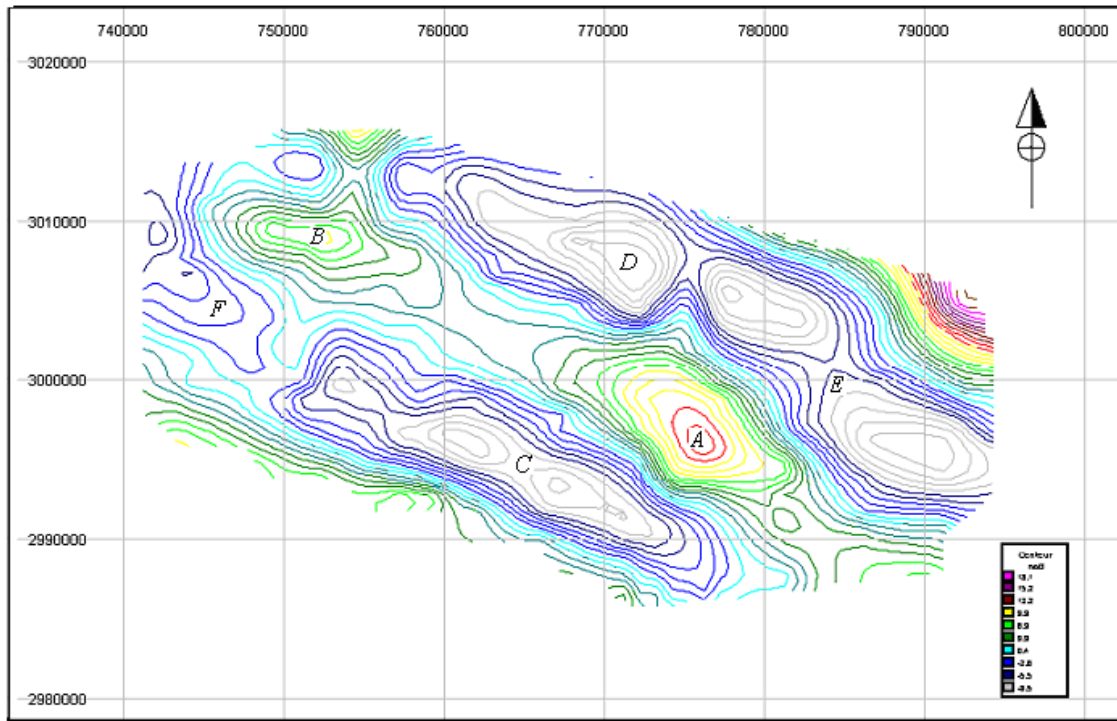
روش‌ها است، این است که شکل ۷ مربوط به روش اجزاء محدود با نرم‌افزار دیگری تهیه شده و هموارسازی کمتری در کانتورهای بی‌هنچاری باقی‌مانده صورت گرفته است.

۴ نتیجه‌گیری و پیشنهاد

در این تحقیق، از روش عددی اجزاء محدود به منظور محاسبه اثرات ناحیه‌ای داده‌های گرانی منطقه دهنو استفاده شد. برای برآورد بهترین مقادیر گرانی باقی‌مانده حاصل مربوط به ساختارهای زیرسطحی از إلمان‌های چهار، هشت و دوازده‌گره‌ای استفاده شد تا در مقایسه با سایر روش‌های جداسازی بی‌هنچاری‌ها و شواهد زمین‌شناسی موجود، مناسب‌ترین نقشه باقی‌مانده حاصل شود. در این تحقیق نتایج مهم زیر به دست آمد:

- نتایج نشان داد که با افزایش تعداد گره‌های إلمان از چهار به دوازده، گرانی ناحیه‌ای برآورده، کمتر با ساختارهای مفید مربوط به تله‌های نفتی همراه است.

در خاتمه برای ارزیابی صحت عملکرد روش اجزاء محدود در جداسازی بی‌هنچاری‌ها، نتیجه این روش را با نتیجه حاصل از روش روند سطحی برای داده‌های کل Modelvision Pro که با نرم‌افزار Pro مورد بررسی که با نرم‌افزار Modelvision حاصل شده است، مدنظر قرار می‌دهیم. یک بررسی و مقایسه اجمالی بین نقشه بی‌هنچاری باقی‌مانده روش اجزاء محدود (شکل ۷) و نقشه بی‌هنچاری باقی‌مانده روش روند سطحی با درجه ۳ (شکل ۹) نشان می‌دهد که نتایج این دو روش در مشخص ساختن تاقدیس دهنو (بخش میانی نقشه‌ها) تطابق مناسبی دارند ولی در قسمت‌های جانبی کمی متفاوت‌اند. علاوه‌بر این، چنین مقایسه‌ای بین نتایج روش اجزاء محدود و نتایج دیگر روش‌های جداسازی بی‌هنچاری‌ها مثل روش‌های گریفین، مشتق اول و روند سطحی با درجات متفاوت (دولتی ارده جانی و همکاران، ۱۳۸۳) صورت گرفت و تطابق قابل قبولی به دست آمد. ذکر این نکته ضروری است که علت آنکه نقشه باقی‌مانده روش اجزاء محدود کمی متفاوت از نقشه‌های سایر



شکل ۹. نقشه بی‌هنچاری باقی‌مانده گرانی به روش ارتونمال (روند ۳) – منطقه دهنو.

به مترله بی‌هنگاری بوگه برآورده کنیم و در محاسبه اثر منطقه‌ای آن داده‌ها را مورد استفاده قرار دهیم. در نهایت پیشنهاد می‌شود که روش موردنظر در این تحقیق در کنار سایر روش‌های جداسازی بی‌هنگاری‌ها در اکتشاف تله‌های نفتی و کانسارها استفاده شود تا از مزایا و توانمندی‌های آن بیشتر بهره‌مند شویم.

تشکر و قدردانی

داده‌های مورد استفاده در این تحقیق از بخش غیرلرزه‌ای شرکت ملی نفت ایران اخذ شده است که لازم است در این زمینه از مساعدت‌ها و خدمات آقای مهندس خراسانی، رئیس محترم اداره ژئوفیزیک بخش اکتشاف شرکت ملی نفت ایران صمیمانه تشکر و قدردانی شود.

منابع

- دولتی ارده‌جانی، ف.، مرادزاده، ع.، یعقوبی پور، م.، طباطبایی رئیسی، س. ۵. و محمدلو خراسانی، م، ۱۳۸۳، بررسی وضعیت ساختمانی تله‌های نفتی منطقه دهنو به کمک تفسیر داده‌های گرانی: مجموعه مقالات دومین همایش ژئوفیزیک اکتشافی ایران، انجمن ملی ژئوفیزیک ایران، ۱۱-۱۳.
- دولتی ارده‌جانی، ف.، مرادزاده، ع.، طباطبایی، س. ۵۰، یعقوبی پور، م.، عرب امیری، ع.، ۱۳۸۵، بررسی احتمال نفوذ گند نمکی در تاقدیس نفتی دهنو به کمک تکنیک گسترش آنومالی‌های گرانی به سمت پایین: اولین کنگره مهندسی نفت ایران (صنایع بالا دستی نفت)، تهران، مجموعه مقالات، صفحه ۲۹، مقاله شماره ۱۹۴ روی CD.
- طباطبایی، س. ۵۰، ۱۳۸۳، گزارش تعبیر و تفسیر گرانی و مغناطیس‌سنگی و مگنتوتولوریک طاقدیس دهنو، گزارش ژئوفیزیکی ۲۰۳۸، شرکت ملی نفت ایران، ۳۳ ص.

- نقشه باقی‌مانده روش اجزاء محدود به خوبی توانست وضعیت تاقدیس دهنو (بی‌هنگاری A، شکل ۷) را از نظر گستردگی، امتداد و شبیه دامنه‌ها توجیه کند. علاوه بر آن، مقایسه نتایج حاصل از روش اجزاء محدود با نتایج بدست آمده از روش روند سطحی با درجه ۳، صحت نتایج و توانمندی زیاد این روش را در به دست آوردن نقشه بی‌هنگاری باقی‌مانده مربوط به تله‌های نفتی نشان می‌دهد.

- آگاهی از وضعیت زمین‌شناسی منطقه سبب انتخاب مناسب محل إلمان‌ها و گره‌های روی آنها می‌شود. - به کارگیری روش اجزاء محدود و فرمول‌بندی آن در مقایسه با سایر روش‌های موجود برای جداسازی بی‌هنگاری‌های گرانی آسان است و نتایج قابل اعتمادی را فراهم می‌سازد.

- چون محاسبات مربوط به روش اجزاء محدود در یک دستگاه مختصات بدون بعد و ساده صورت می‌گیرد، این امر به راحتی محاسبات می‌انجامد.

- به دلیل اینکه در روش اجزاء محدود فقط از داده‌های گرانی مشاهده‌ای که در محل گره‌های إلمان‌ها قرار می‌گیرند، استفاده می‌شود، لذا این روش برای برآورده گرانی ناحیه‌ای مناطق غیر قابل دسترس از قبیل باتلاق‌ها، دریاچه‌ها، مناطق شهری و مناطق با توپوگرافی تند بسیار مناسب است. منظور اینکه ممکن است در بخشی از منطقه عملیاتی امکان برداشت داده‌ها به هر دلیلی وجود نداشته باشد. برای کاربرد روش‌های متداول جداسازی بی‌هنگاری‌ها نیاز به ایجاد یک شبکه منظم حاوی داده‌های گرانی بوگه در نقاط گره‌ای است که معمولاً برای آن دسته از نقاط گره‌ای که در آن داده‌ها به دلیل مشکلات برداشت نشده‌اند، تقریب زده می‌شوند و ممکن است دقت مناسبی نداشته باشند. ولی در روش اجزاء محدود، إلمان‌بندی طوری صورت می‌گیرد که منطقه برداشت نشده ذکر شده در داخل إلمان قرار گیرد. بنابراین برای محاسبه اثر ناحیه‌ای حتمی، نیازی نیست تا داده‌های را

مرادزاده، ع.، دولتی ارده‌جانی، ف.، آگاه، آ. و طباطبایی، س.م.، ۱۳۸۴، اکشاف تله‌های هیدروکربوری طبس با روش جدید وارونه‌سازی سه‌بعدی داده‌های گرانی. مجله تحقیقاتی فیزیک زمین و فضا، جلد ۳۱، شماره ۲، ص ۲۳-۳۴.

مرادزاده، ع.، دولتی ارده‌جانی، ف.، یعقوبی پور، م.، محمدو خراسانی، م.، ۱۳۸۵، مدلسازی دو‌بعدی معکوس پارامتری داده‌های گرانی منطقه نفتی دهنو. عرضه شده در اولین کنگره مهندسی نفت ایران (صنایع بالادستی نفت)، تهران، مجموعه مقالات، صفحه ۲۸، مقاله شماره ۱۹۶ روی CD.

Cheung, Y. K. and Yeo, M. F., 1979, A practical introduction to finite element analysis: Pitman.

Encom Technology Pty Ltd, 2003, The 3D workbench for magnetics and gravity interpretation: Reference Manual.

Kaftan, I., Salk, M. and Sari, C., 2003, Application of finite element method on a 2-D gravity data in western European Geophysical Society Geophysical Research Abstracts, **5**, 13918.

Mallick, K., 1991, Application of finite element method for separation of residual gravity anomaly and ore estimation: Proceedings of Indian Geophysical Union, **26**, 141-146.

Mallick, K. and Sharma, K. K., 1997, Computation of regional gravity anomaly –A novel approach: Proc. Indian Acad. Sci. (Earth Planet. Sci.), **106**, 55-59

Mallick, K. and Sharma, K. K., 1999, A finite element method for computation of the regional gravity anomaly: Geophys., **64**(2), 461-469.

Pinder, G. F. and Frind, E. O., 1972, Application of Galerkin's procedure to aquifer analysis: Water Resour. Res., **8**(1), 108-120.

Reddy, J. N., 1993, Finite element Method. McGraw-Hill, Inc.

Telford, W.M., Geldart.L.P., and Sheriff, R.E., 1991, Geophysics.Cambridge University Press.